

## Определение долговечности при циклических нагрузках консольной балки с концентратором напряжений при изгибе

Г. В. Степанов, И. А. Мамеев

Институт проблем прочности им. Г. С. Писаренко НАН Украины, Киев, Украина

Приведены методика и результаты исследования долговечности металла консольной балки в области концентратора напряжений при одностороннем циклическом изгибе. В результате сравнения данных эксперимента и численного моделирования между собой определена связь долговечности с амплитудой неупругого циклического деформирования. Установлено влияние деформационного упрочнения и скорости пластической деформации на долговечность.

**Ключевые слова:** нагружение изгибом, долговечность, скорость пластической деформации.

**Введение.** В элементах конструкций с концентраторами напряжений, подверженных циклическому нагружению изгибом, при амплитудах, вызывающих неупругое циклическое деформирование, возникают трещины, которые приводят к снижению их долговечности [1–3]. Задача усложняется необходимостью учитывать влияние на долговечность напряженно-деформированного состояния, коррозионного воздействия [4, 5] и скорости деформации [6]. Расчетная оценка долговечности при циклическом нагружении с учетом влияния скорости деформации не представляется возможной без экспериментальных исследований, развитие которых является актуальным.

В данном сообщении приведена методика определения долговечности металла при упругопластическом деформировании в области концентратора по результатам испытаний консольной балки с краевым концентратором напряжений при одностороннем циклическом изгибе с коэффициентом асимметрии перемещений  $R_w = 0$ .

В результате сравнения данных эксперимента (число циклов до появления трещины заданной длины  $\sim 0,5$  мм) и численного моделирования (расчетное число циклов) между собой определена связь долговечности с амплитудой неупругого циклического деформирования с учетом влияния скорости пластической деформации в области концентратора.

**Методика экспериментальных исследований.** Объектом исследования служили образцы из стали Ст. 3 в виде пластины с поперечным сечением  $5 \times 30$  мм, длиной  $L = 120$  мм и краевым концентратором в виде выемки глубиной  $a = 6,5$  мм и радиусом  $r_1 = 2$  мм (рис. 1).

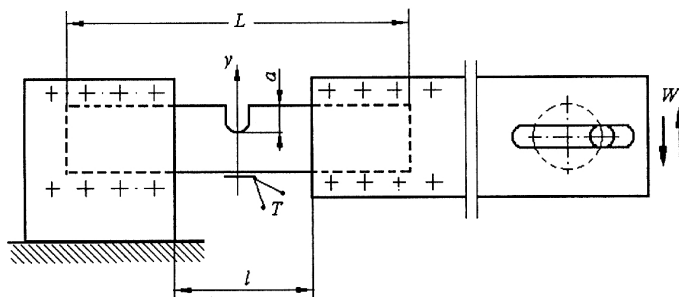


Рис. 1. Схема циклического нагружения образца при изгибе.

Благодаря наличию выемки уменьшается жесткость сечения образца в области концентратора, в результате чего снижаются деформации в остальных областях образца.

Концы образца зажимаются между жесткими пластинами, а конец консольного рычага длиной около 450 мм нагружается заданным перемещением  $W$ . Циклическое перемещение конца рычага обеспечивается движением в его продольном пазу кулака, закрепленного с эксцентриком через подшипник на шкиве вала электродвигателя. Изменение эксцентрика оси подшипника относительно оси вращения двигателя приводит к изменению амплитуды циклических перемещений  $W$ .

Зависимость неупругой деформации  $\varepsilon_c(W)$  в области концентратора от перемещения конца рычага при циклическом изгибе определяли с помощью расчетно-экспериментальной методики.

С этой целью на первом этапе по результатам серии измерений деформации тензорезистором (на рис. 1 обозначено  $T$ ) определяли зависимость деформации на нижней грани образца от перемещения рычага  $\varepsilon_T(W)$ . Связь между неупругой деформацией материала в области концентратора и на нижней грани образца  $\varepsilon_c(\varepsilon_T)$  определяли с помощью метода конечных элементов (МКЭ). В расчете использовали модель материала с кусочно-линейным изотропным упрочнением, аппроксимирующим экспериментально определенную диаграмму металла при растяжении истинное напряжение – истинная деформация. По результатам обработки экспериментальной  $\varepsilon_T(W)$  и расчетной  $\varepsilon_c(\varepsilon_T)$  диаграмм определяли связь  $\varepsilon_c(W)$ , которую использовали при анализе результатов испытаний.

Ниже приведены данные, необходимые для реализации предложенной методики.

Экспериментальные данные:

диаграмма деформирования металла при статическом растяжении;

зависимость деформации сжатия  $\varepsilon_T$  на нижней грани образца (под концентратором напряжений) от перемещения конца рычага  $W$ ;

число циклов  $N$  до появления трещины заданной длины ( $\sim 0,5$  мм), наблюдаемой на боковой поверхности образца, при различной величине  $W$ .

Расчетные данные (моделирование МКЭ с использованием программы ANSYS ED [7]):

расчетная зависимость максимальной пластической деформации  $\varepsilon_p$  в области концентратора напряжений от деформации сжатия  $\varepsilon_T$  волокон на нижней грани образца;

расчетная зависимость приращения эквивалентной циклической пластической деформации  $\Delta\varepsilon_p$  в области концентратора напряжений от перемещения рычага  $W$  (или изгибающего момента  $M$  в сечении образца с концентратором);

расчетная суммарная неупругая деформация металла в области концентратора напряжений, соответствующая появлению макротрещины длиной  $\sim 0,5$  мм, в зависимости от приращения эквивалентной циклической пластической деформации.

**Результаты экспериментальных исследований.** Исходную кривую деформации исследуемого материала определяли при испытании на статическое растяжение образца с поперечным сечением  $S_0 = 8 \times 5$  мм и длиной рабочей части  $l_0 = 50$  мм, изготовленного из той же листовой заготовки, что и образцы для циклических испытаний. Диаграмму нагрузка  $P$  – перемещение  $\Delta l$  или диаграмму условное напряжение  $\sigma_y$  – условная деформация  $\varepsilon_y$  ( $\sigma_y = P/S_0$ ,  $\varepsilon_y = \Delta l/l_0$ ) пересчитывали в диаграмму истинное напряжение  $\sigma$  – истинная деформация  $\varepsilon$  с использованием известных соотношений [8], следующих из условия пластической несжимаемости металла (рис. 2):

$$\sigma = \sigma_y(1 + \varepsilon_y); \quad \varepsilon = \ln(1 + \varepsilon_y). \quad (1)$$

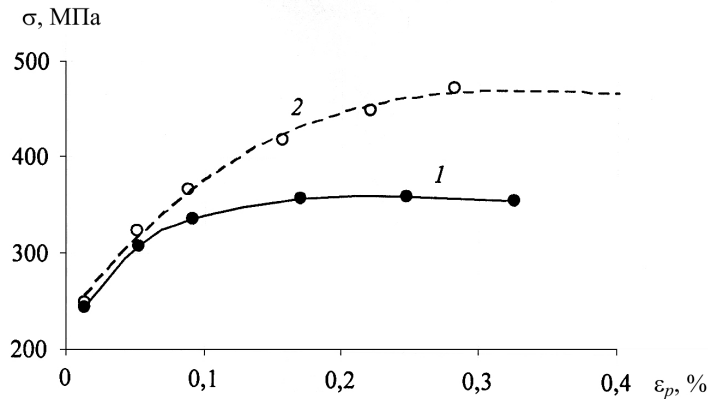


Рис. 2. Диаграмма деформирования образца при растяжении  $\sigma_y(\varepsilon_y)$  – 1 и расчетная диаграмма  $\sigma(\varepsilon)$  – 2.

Учитывая, что площадка текучести характеризует процесс распространения начальной пластической деформации по длине рабочей части образца и, следовательно, не описывает связь между напряжениями и деформациями в материале [6], при расчете диаграммы  $\sigma(\varepsilon)$  использовали диаграмму  $\sigma_y(\varepsilon_y)$ , полученную сдвигом участка упрочнения на величину деформации, соответствующую длине площадки текучести (около 0,15%).

**Моделирование напряженно-деформированного состояния (НДС) в балке при консольном изгибе.** Расчеты выполнены для балки (рис. 1) из стали Ст. 3 с поперечным сечением  $5 \times 30$  мм, длиной  $l = 40$  мм и краевым концентратором напряжений ( $a = 6,5$  мм,  $r_1 = 2$  мм) в середине пролета при плоском деформированном состоянии (ПДС). Консольный нагружающий рычаг моделировали упругим участком балки с десятикратным увеличением модуля упругости. Для оценки влияния остроты концентратора расчеты проводили с уменьшенным радиусом ( $a = 6,5$  мм,  $r_2 = 0,2$  мм). С целью повышения точности оценки локального НДС с использованием МКЭ применяли модель с размерами элементов вблизи концентратора, равными примерно 0,25 и 0,025 мм при радиусах  $r_1 = 2$  мм и  $r_2 = 0,2$  мм соответственно, что обеспечивает достаточно низкий градиент деформаций в пределах элементов.

Модель поведения металла – упругопластическое деформирование с изотропным упрочнением, аппроксимирующим экспериментальную начальную часть (эквивалентная деформация менее 35%) кривой деформирования при растяжении. Основные механические характеристики металла, принятые в расчетах: диаграмма деформирования при растяжении  $\sigma(\varepsilon)$ ; модуль упругости  $E = 200$  ГПа; коэффициент Пуассона  $\nu = 0,3$ ; предел текучести при растяжении  $\sigma_t = 244$  МПа; предел прочности  $\sigma_b = 362$  МПа; изменение площади поперечного сечения в шейке  $\psi = 0,6$ .

**Моделирование деформации в области концентратора.** При низком уровне нагрузки малое перемещение  $W$  по расчетным данным не вызывает неупругих деформаций в области концентратора. В случае повышенной амплитуды  $W$  при первом цикле нагружения имеет место пластическая деформация как в области концентратора напряжений, так и на противоположной концентратору грани образца, при последующих циклах нагружения циклическая пластическая деформация ограничена областью концентратора. С ростом  $W$  повышается как пластическая деформация при первом цикле нагружения, так и приращение эквивалентной циклической пластической деформации  $\Delta\varepsilon_p$  в области концентратора. При последующих циклах нагружения величина  $\Delta\varepsilon_p$  уменьшается без изменения пластической деформации на противоположной грани образца.

По результатам расчетов перемещение конца рычага  $W$  в диапазоне выше 3 мм вызывает в области дна концентратора повышенную пластическую деформацию при первом цикле нагружения. При последующих циклах нагружения происходит перераспределение НДС, в результате которого наблюдается циклическое изменение деформации  $\Delta\epsilon_p$  при уровне максимального и минимального эквивалентного напряжения, соответствующего пределу текучести (коэффициент асимметрии цикла напряжений  $R_\sigma = -1$ ).

Напряженно-деформированное состояние в области концентратора при использовании упругопластической модели металла определяется изгибающим моментом в поперечном сечении образца с концентратором, зависимость которого от перемещения рычага приведена на рис. 3.

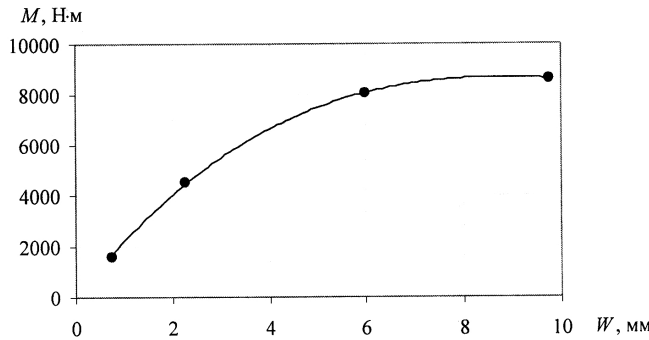


Рис. 3. Зависимость изгибающего момента  $M$  в поперечном сечении образца с концентратором от перемещения рычага  $W$ .

Примем, что при нелинейном суммировании деформаций  $\Delta\epsilon_p$ , определяющих поврежденность, для предельной деформации  $\epsilon_f = -\ln(1-\psi)$  число циклов до появления макротрешины определяется из уравнения [2]

$$N = \frac{\epsilon_f}{4\Delta\epsilon_p}. \quad (2)$$

Зависимость роста эквивалентной циклической пластической деформации  $\Delta\epsilon_p$  за цикл нагрузки у поверхности концентратора от числа циклов до разрушения  $N_f$  (рис. 4) не зависит от радиуса  $r$  в соответствии с формулой (2).

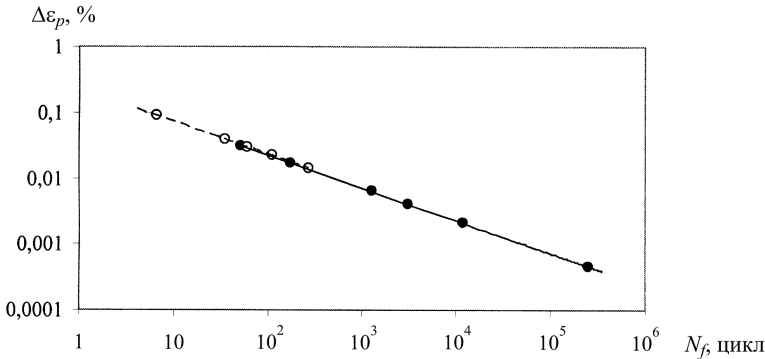


Рис. 4. Зависимость роста эквивалентной циклической пластической деформации  $\Delta\epsilon_p$  за цикл нагрузки от числа циклов до разрушения  $N_f$  образца с концентраторами радиусом  $r_1 = 2$  мм (●) и  $r_2 = 0,2$  мм (○).

Следует заметить, что при использовании в расчетах модели плоского напряженного состояния (ПНС) металла имеют место большие значения циклической пластической деформации. В реальном образце конечной толщины исчерпание ресурса пластичности достигается раньше у кромок в области концентратора, где НДС больше соответствует ПНС. Однако разрушение в центральной части поверхности между кромками определяется как НДС, более близкое к плоской деформации.

**Сопоставление расчетной долговечности с полученной экспериментально.** Для оценки влияния эффектов вязкости на циклическую неупругую деформацию было промоделировано циклическое нагружение балки с концентратором радиусом  $\eta = 2$  мм при синусоидальном изменении  $W$  с частотой 25 Гц. В расчетах для описания деформации металла, чувствительного к скорости пластической деформации, использовали уравнение Пэжины [7]. Динамическое напряжение  $\sigma_d$ , учитывающее скорость пластической деформации, определяется по зависимости

$$\sigma_d = \left[ 1 + \left( \frac{\dot{\varepsilon}_p}{\gamma} \right)^m \right] \sigma, \quad (3)$$

где  $\dot{\varepsilon}_p$  – скорость пластической деформации;  $\sigma$  – напряжение при статическом нагружении, не учитывающее влияние скорости пластической деформации;  $\gamma$ ,  $m$  – параметры, характеризующие влияние скорости деформации (для предварительной оценки принято  $\gamma = 1$  и  $m = 1$ ).

По результатам расчетов без учета эффектов вязкости, т.е. без учета скорости пластической деформации, приращение пластической деформации в области концентратора понижается при последующих циклах нагрузки, а амплитуда циклического изменения эквивалентного напряжения повышается в результате деформационного упрочнения. При этом среднее значение напряжения приближается к нулевому уровню (рис. 5), а уровень накопленной пластической деформации возрастает. Приращение эквивалентной циклической пластической деформации за цикл снижается с увеличением числа циклов от начала нагружения (рис. 6).

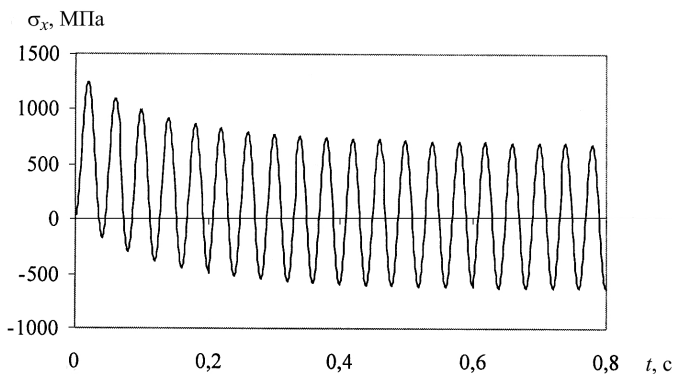


Рис. 5. Изменение во времени напряжения в области дна концентратора ( $\eta = 2$  мм) при циклическом изгибе балки с частотой 25 Гц,  $W = 0,45$  мм.

Учет эффекта вязкости, т.е. влияния скорости пластической деформации, при циклическом изгибе с частотой 25 Гц проявляется (по зависимости (3)) в значительном повышении амплитуды циклических напряжений, причем уровень средних напряжений в цикле уменьшается до нуля в течение начальных 15–20 циклов.

Приращение эквивалентной циклической пластической деформации за цикл с учетом эффектов вязкости при  $W = 6,0$  мм снижается примерно вдвое. Скорость

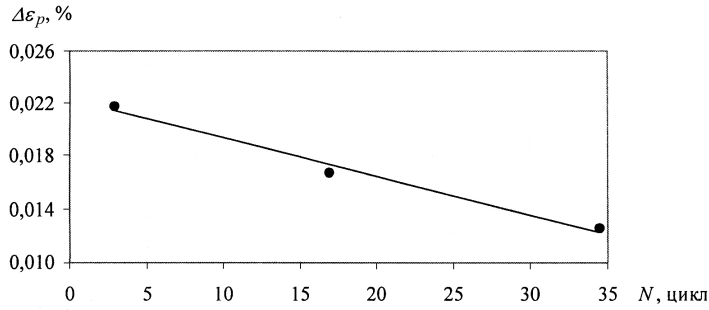


Рис. 6. Изменение эквивалентной циклической пластической деформации в зависимости от числа циклов от начала нагружения при  $W = 6$  мм ( $M = 8100$  Н·м).

эквивалентной пластической деформации при радиусе концентратора  $r_1 = 2$  мм не превышает  $0,8 \text{ с}^{-1}$ , при  $r_2 = 0,2$  мм –  $1,6 \text{ с}^{-1}$ .

Расчетная величина неупругой деформации за цикл понижается с учетом эффекта вязкости и удовлетворительно согласуется с экспериментальными данными, полученными при испытании образцов с концентратором радиусом  $r_1 = 2$  мм (рис. 7). Число циклов до зарождения макротрешины (появление трещины длиной около 0,5 мм от дна концентратора, наблюданной на боковой поверхности образца) с учетом эффекта вязкости существенно выше расчетного значения при квазистатическом нагружении. Значения расчетной долговечности при циклическом изгибе с неупругим циклическим деформированием, определенные по ресурсу пластичности металла (рис. 7), существенно ниже таковых, полученных при циклическом изгибе с частотой 25 Гц. Это свидетельствует о влиянии на НДС и долговечность в области концентратора эффектов деформационного упрочнения и вязкости. Проявление эффектов вязкости при низкой скорости деформации несущественно, а при циклическом нагружении в проведенных экспериментах вызывает снижение эквивалентной циклической пластической деформации.

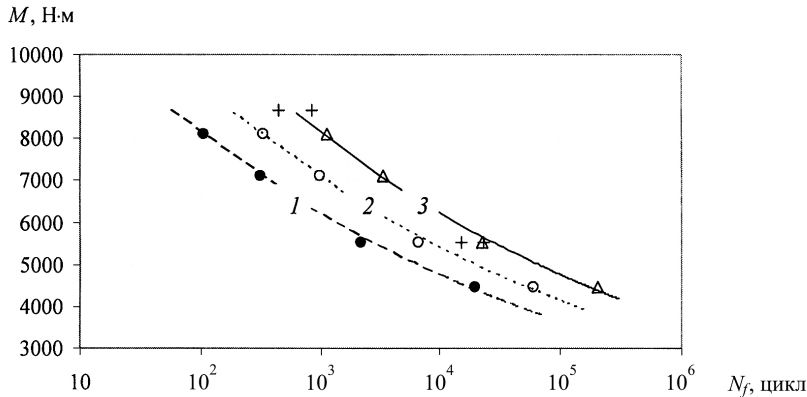


Рис. 7. Зависимость изгибающего момента в сечении с концентратором от расчетного числа циклов до разрушения, определенная по величине  $\Delta\epsilon_p$  при статическом нагружении для 4-го (1) и 35-го (2) циклов нагружения; при динамическом нагружении для 35-го цикла (3); + – результаты экспериментов.

Следовательно, эффекты вязкости влияют на уровень неупругой циклической деформации и на долговечность, определяемую ресурсом пластичности металла, и должны учитываться при оценке долговечности конструкции по результатам испытаний образцов при частотах, отличающихся от эксплуатационных.

## Выводы

- Предложенная методика испытаний на циклический изгиб позволяет оценить влияние неупругого циклического деформирования металла в области концентратора на долговечность до появления макротрешины заданного размера.
- Долговечность до появления макротрешины при циклическом нагружении снижается с увеличением остроты концентратора напряжений и длительности цикла, определяющей эффекты вязкости исследованного металла.
- Эффекты вязкости влияют на уровень неупругой циклической деформации и на долговечность, определяемую ресурсом пластичности металла, и должны учитываться при оценке долговечности конструкции. При циклическом нагружении амплитуда напряжений выше, а рост эквивалентной циклической пластической деформации за цикл меньше, чем при статическом нагружении.
- Оценка влияния на долговечность асимметрии цикла неупругого деформирования металла в области концентрации напряжений, в том числе в вершине трещины, является задачей дальнейших исследований.

## Резюме

Наведено методику і результати дослідження довговічності металу консольної балки в області концентратора напружень за однобічного циклічного згину. Порівняння даних експерименту і чисельного моделювання між собою свідчить про зв'язок довговічності з амплітудою непруженого циклічного деформування. Установлено вплив деформаційного зміщення і швидкості пластичної деформації на довговічність.

- Махутов Н. А., Гаденин М. М.* Обоснование прочности, ресурса, надежности и безопасности ГЭС // Повышение надежности и эффективности эксплуатации электрических станций и энергетических систем: Тр. Всерос. науч.-практ. конф. (Москва, 1–3 июня 2010 г.). – М.: Издательский дом МЭИ, 2010. – 2. – С. 201 – 205.
- Куркин А. С., Батов Г. П.* Предельная пластичность – универсальная локальная критериальная характеристика разрушения для оценки ресурса сварных конструкций // Завод. лаб. – 2010. – № 6. – С. 45 – 54.
- ПНАЭ Г-7-002-86.* Нормы расчета на прочность оборудования и трубопроводов атомных энергетических установок. – М.: Энергоатомиздат, 1989. – 525 с.
- Драгунов Ю. Г., Зубченко А. С., Петрова О. Ю., Харина И. Л.* Влияние воды высоких параметров на склонность стали 10ГН2МФА к замедленному деформационному коррозионному растрескиванию // Машиностроение и инж. образование. – 2007. – № 4. – С. 35 – 41.
- Чаусов Н. Г., Лебедев А. А., Гетманчук А. В.* Влияние вида напряженного состояния на кинетику накопления повреждений и трещиностойкость стали 15Х2МФА в разных состояниях // Пробл. прочности. – 1993. – № 3. – С. 3 – 9.
- Степанов Г. В.* Упругопластическое деформирование и разрушение материалов при импульсном нагружении. – Киев: Наук. думка, 1991. – 288 с.
- ANSYS HTML. Online Documentation.* – SAS IP Inc. – 2005.
- Сопротивление материалов деформированию и разрушению.* Справочное пособие / Под ред. В. Т. Трощенко. – Киев: Наук. думка, 1993. – Ч. 1. – 288 с.

Поступила 18. 06. 2013